

CORUNDUM
Herrn Dr. Fündling
Mit besten Grüßen
Schroeder.

ÜBERREICHT VON DEN VERFASSERN.

SEPARAT-ABDRUCK

AUS

TSCHERMAKS

MINERALOGISCHEN UND PETROGRAPHISCHEN

MITTEILUNGEN

HERAUSGEGEBEN

VON

F. BECKE.

V. GOLDSCHMIDT UND R. SCHROEDER: ÜBER KORUND.

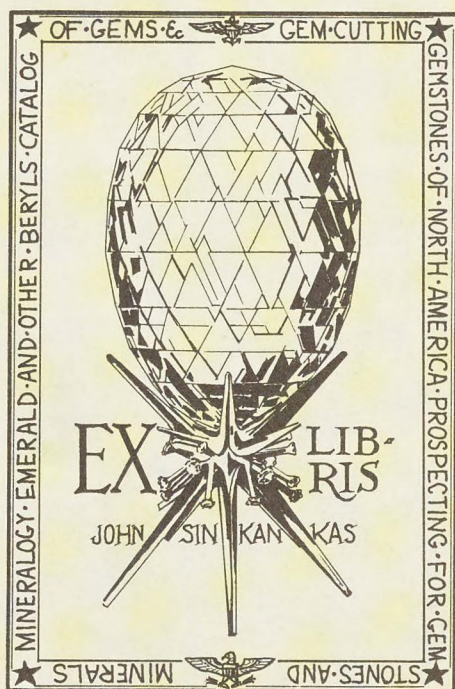
Tschermaks Mineralogische und petrographische Mitteilungen,
XXIX. Band, 6. Heft, 1910.

WIEN.

ALFRED HÖLDER,

K. U. K. HOF- UND UNIVERSITÄTS-BUCHHÄNDLER,
BUCHHÄNDLER DER KAISERLICHEN AKADEMIE DER WISSENSCHAFTEN,

I., ROTENTURMSTRASSE 13.



XXIII. Über Korund.

Von V. Goldschmidt und R. Schroeder in Heidelberg.

Mit Taf. VII—IX.

Literatur zur Krystallographie des Korund.

- | | |
|---|--|
| Haüy, Min., 1822, 2, 70 | Des Cloizeaux, Compt. rend., 1888, 106, 567 |
| Phillips, Min., 1823, 77 | — Zeitschr. Kryst., 1891, 18, 323 |
| Mohs, Min., 1824, 2, 343 | Busz, Zeitschr. Kryst., 1889, 15, 622 |
| Mohs-Haidinger, Min., 1825, 2, 299 | Bruhns, Zeitschr. Kryst., 1890, 17, 554 |
| Naumann, Min., 1828, 425 | Frémy, Synthèse du rubis, 1891, 15 |
| Presl, Min., 1837, 124 | Dana, Syst., 1892, 210 |
| Lévy, Description, 1837, 1, 242 | Barviř, Wien. Mus. Ann., 1892, 135 |
| Mohs-Zippe, Min., 1839, 2, 339 | — Zeitschr. Kryst., 1895, 25, 431 |
| Hausmann, Handb., 1847, 2 (1), 245 | Bauer, Jahrb. Min., 1896, 2, 7 |
| Miller, Min., 1852, 242 | Pratt, Am. Journ., 1897, 4, 425 |
| Kokscharow, Mat. Min. Rußl., 1853, 1, 123; 1870, 6, 223 | Pratt und Hidden, Am. Journ., 1899, 8, 374 |
| Scacchi, Mem. Acc. Torino, 1862, (2), 21, Taf. 4 | Mügge, Min. Petr. Mitt., 1899, 19, 165 |
| Klein, Jahrb. Min., 1871, 486 | Bowmann, Min. Mag., 1901, 12, 356 |
| Strüver, Att. Acc., Torino. 1871, 7, 377 | Lacroix, Min. de France, 1901, 3, 245 |
| Dana, Syst., 1873, 137 | Melzer, Zeitschr. Kryst., 1902, 35, 561 |
| Jeremejew, Verh. Peters. Min. Ges., 1877, (2), 13, 426, 440 | Hidden, Am. Journ., 1902, 13, 474 |
| — Zeitschr. Kryst., 1880, 4, 641 | Brauns, Jahrb. Min., 1906, 1, 41 |
| Lasaulx, Zeitschr. Kryst., 1885, 10, 346 | Nies und Goldschmidt, Jahrb. Min., 1908, 2, 97 |
| Mallet, Man. Geol. Ind., 1887, IV, 39 | |

Gegenstand der Untersuchung bildeten Saphire von Ceylon und Rubine von Birma aus der Sammlung von V. Goldschmidt. Es handelt sich im wesentlichen um eine Beschreibung und möglichst naturgetreue Abbildung der Krystalle.

Dabei fanden sich 10 für den Korund neue Formen. Diese wurden dem System der bekannten Formen eingefügt, in ein gemeinsames Projektionsbild eingetragen und anschließend daran eine Diskussion der Formen auf innere Wahrscheinlichkeit und Sicherheit vorgenommen. Ferner wurde eine Statistik aller publizierten Kombinationen gegeben als Unterlage für eine Rangordnung der Formen nach der Häufigkeit und eine Statistik nach Flächengröße für eine Rangordnung nach der Größe. Ein Verzeichnis der krystallbeschreibenden Literatur über Korund wurde vorausgeschickt und es wurde eine Winkeltabelle beigegeben für die seit Publikation der Winkeltabellen (1897) publizierten und gesicherten Korundformen.

Die Arbeit schließt sich an die von Nies und Goldschmidt im Jahrb. Min. 1908, 2, 97—113 publizierte an.

Der Habitus der von uns untersuchten Saphire ist durchweg holodrisch prismatisch oder steil pyramidal, dem prismatischen sich nähernd. Saphire von rhomboedrischem Habitus wurden nicht gefunden.

Die meisten Rubine dagegen zeigen rhomboedrischen Habitus, nur ausnahmsweise prismatischen. Da die rhomboedrischen Krystalle gegenüber den von andern publizierten nichts wesentlich Neues zeigten, wurden vorzugsweise die selteneren prismatischen zur Untersuchung gebracht. Drei der letzteren neben einem rhomboedrischen wurden beschrieben und abgebildet.

An unseren Korunden fanden sich folgende Formen:

Buchstabe:	o	a	b	[*] e	[*] m	n	w
Symbol G_2 ¹⁾	o	∞ o	∞	3 ∞	$\frac{3}{2}$ o	20	30
Bravais	0001	10 $\bar{1}$ 0	11 $\bar{2}$ 0	31 $\bar{4}$ 0	30 $\bar{3}$ 2	20 $\bar{2}$ 1	30 $\bar{3}$ 1
Buchstabe:	k	v	x	z	λ	ϑ	ν
Symbol G_2	$\frac{7}{2}$ 0	40	50	60	70	80	12.0
Bravais	70 $\bar{7}$ 2	40 $\bar{4}$ 1	50 $\bar{5}$ 1	60 $\bar{6}$ 1	70 $\bar{7}$ 1	80 $\bar{8}$ 1	12.0.1 $\bar{2}$ 1

¹⁾ G_2 sind die Symbole, bei denen das Grundrhomboeder als +1 erscheint (vgl. Index 1886, 1, 321). Die hier gebrauchten Bravais-Symbole gehen aus den G_2 hervor nach der Formel: $pq(G_2) = p \cdot q \cdot p + q \cdot 1$ (Bravais), vgl. Goldschmidt, Winkeltab., 1897, 383.

Buchstabe:	ω	rr.	$\overset{*}{t}$	s	$\overset{*}{\alpha\alpha.}$	$\beta.$	pp.
Symbol G_2	14.0	± 1	$+\frac{3}{2}$	-2	$\pm\frac{5}{2}$	$-\frac{7}{2}$	± 5
Bravais	14.0. $\bar{1}4$.1	11 $\bar{2}$ 1	33 $\bar{6}$ 2	$\bar{2}2$ 41	5.5. $\bar{1}0$.2	$\bar{7}.$ $\bar{7}$.14.2	5.5. $\bar{1}0$.1

Buchstabe:	τ	$\overset{*}{\zeta}$	$\overset{*}{B}$	$\overset{*}{\psi}$	$\overset{*}{h}$	$\overset{*}{\zeta}$	$\overset{*}{D}$
Symbol G_2	+21	$+\frac{5}{2}1$	+ 91	$+\frac{5}{3}\frac{1}{3}$	$+\frac{8}{5}\frac{4}{5}$	$\pm\frac{10}{3}\frac{5}{3}$	$+\frac{4}{3}\frac{8}{9}$
Bravais	21 $\bar{3}$ 1	52 $\bar{7}$ 2	9.1. $\bar{1}0$.1	51 $\bar{6}$ 3	8.4. $\bar{1}2$.5	10.5. $\bar{1}5$.3	12.8. $\bar{2}0$.9

Neu für Korund sind die mit * bezeichneten:

e m t α . ζ B ψ h ζ D.

Am Saphir fanden sich:

o a b m n w k v x z λ ϑ v ω rr. t s $\alpha\alpha$. β τ B ψ h ζ D.

Am Rubin fanden sich:

o a e b n v ϑ r p p. ζ .

Beschreibung der einzelnen Krystalle.

A. Saphir von Ceylon.

Krystall 1. (Taf. VII, Fig. 1^{a b}.) Kombination: a o n z λ r s.

Dimensionen: Dicke 2 mm, Höhe 5 mm. Farbe: hellblau. Er ist ausgezeichnet durch die große Ausbildung der Flächen s = -2. Das untere Ende abgebrochen.

Krystall 2. (Taf. VII, Fig. 2^{a b}.) Kombination: o a n v v ω r.

Dimensionen: Dicke 2.5 mm, Höhe 5 mm. Farblos. Spitze lichtblau gefärbt. Unteres Ende abgebrochen.

Krystall 3. (Taf. VII, Fig. 3^{a b}.) Kombination: o k x r $\overset{*}{D}$.

Dimensionen: Dicke 4 mm, Höhe 5 mm. Wasserhell, in der Mitte ist ein blauer Fleck.

Neu ist die Form $D = +\frac{4}{3}\frac{8}{9}(12.8.\bar{2}0.9)$. Da die Form mit allen 6 Flächen des ausgebildeten Endes auftritt, da ferner Messung und Rechnung gut übereinstimmen, kann die Form als gesichert angesehen werden. Die Diskussion spricht nicht dagegen.

Folgendes sind die Messungen:

Buch- stabe	Symbol G_3	Zahl der Flächen	Gemessen		Berechnet		Bemerkungen
			φ	ρ	φ	ρ	
D	$+\frac{48}{39}$	6	83°24	60°20	83°24	60°24	Glatt. Gut spiegelnd.
			96 28	60 21	96 36	60 24	„ Reflex schwach.
			203 20	60 25	203 24	60 24	{ Etwas rauh.
			216 38	60 23	216 36	60 24	{ Reflex annehmbar.
			323 25	60 24	323 24	60 24	{ Glatt. Reflex gut.
			336 34	60 25	336 36	60 24	{ „ „ „ sehr gut.

Krystall 4. (Taf. VII, Fig. 4^{ab}.) Kombination: o a n θ o r s.

Dimensionen: Dicke 2 mm, Höhe 6 mm. Farbe wasserhell, nur das obere Ende ist vorhanden.

Krystall 5. (Taf. VII, Fig. 5^{ab}.) Kombination: o a n k r ψ h.

Dimensionen: Dicke 4 mm, Höhe 7 mm. Farbe lichtblau, unten abgebrochen.

Neu sind die Formen $\psi = +\frac{51}{33}(51\bar{6}3)$ und $h = +\frac{84}{55}(8.4.\bar{1}2.5)$.

Sie können als gesichert angesehen werden, Messung und Rechnung stimmen gut überein.

Buch- stabe	Symbol G_3	Zahl der Flächen	Gemessen		Berechnet		Bemerkungen
			φ	ρ	φ	ρ	
ψ	$+\frac{51}{33}$	3	111 09	59 25	111 04	58 55	{ Glatt. Gut spiegelnd.
			189 02	59 24	188 56	58 55	{ Reflex deutlich.
			230 57	59 20	231 04	58 55	{ Glatt. Reflex gut.
h	$+\frac{84}{55}$	2	78 57	62 40	79 06	62 32	{ „ „ „
			341 06	62 37	340 54	62 32	{ Ob. Teil gut, unten abgerollt. Reflex scharf.
							{ Ob. Teil gut, unten abgerollt. Reflex scharf.

Krystall 6. (Taf. VII, Fig. 6^{a b}.) Kombination: $a \bar{b} v o r s \beta$.

Dimensionen: Dicke 2 mm, Höhe 8 mm. In der Mitte tiefblau, nach den Enden heller werdend, nur an einem Ende ausgebildet.

Außer den typischen Flächen zeigt unser Krystall mehrere Flächen von nicht typischem Ort. Dieselben sind in der Figur mit \times bezeichnet. Sie dürften als Abdrücke von Nachbarkrystallen anzusehen sein.

Krystall 7. (Taf. VIII, Fig. 7^{a b}.) Kombination: $n^* m^* w r t^* \tau^*$.

Dimensionen: Dicke 3.5 mm, Höhe 7 mm. Farblos, nur die Spitze zartblau.

Das untere Ende teilweise ausgebrochen.

Neu sind die Formen $m = \frac{3}{2} 0 (30\bar{3}2)$ und $t = +\frac{3}{2} (33\bar{6}2)$.

Beide neue Formen sind gesichert. Dies ergeben sowohl die unten angeführten Messungen als auch die Diskussion der Zahlen. $\tau = +21 (21\bar{3}1)$ wurde bisher nur von Nies und Goldschmidt (Jahrb. Min. 1908, 2, 106) angegeben, und zwar mit nur einer sehr schlecht ausgebildeten großen Fläche, so daß eine Bestätigung erwünscht schien. An dem vorliegenden Krystall tritt sie mit 10 Flächen auf, 6 am oberen und 4 am unteren Ende. Die Form ist nun durchaus gesichert. Die Übereinstimmung von Messung und Rechnung ist aus der folgenden Tabelle ersichtlich (siehe pag. 466).

Als bemerkenswert möge noch hervorgehoben werden, daß an unserem Krystall die sonst nicht häufige Form $w = 30$ die herrschende ist. Das Auftreten von $\tau = 21$ an unserem Krystall hängt zusammen mit dem erwähnten Herrschen von $w = 30$ und dem Auftreten des neuen $t = \frac{3}{2}$. $w \tau t$ bilden zusammen die normal entwickelte Zone $p = 3$.

Krystall 8. (Taf. VIII, Fig. 8^{a b c}.) Kombination: $a b n w x \vartheta \omega r z z^* \zeta^* \zeta^*$.

Dimensionen: Dicke 2.5 mm, Höhe 7 mm. Dunkelblau, an einigen Stellen rötlichbraun, unten abgebrochen.

Neu sind die Formen $z. = -\frac{5}{2} (\bar{5} . \bar{5} . 10 . 2)$; $\zeta = +\frac{10}{3} \frac{5}{3} (10 . 5 . \bar{15} . 3)$ und $\zeta. = -\frac{10}{3} \frac{5}{3} (\bar{10} . \bar{5} . 15 . 3)$.

Messungen am Krystall 7.

Buchst.	Symb. G_2	Zahl d. Fl.	Gemessen		Berechnet		Bemerkungen
			φ	ρ	φ	ρ	
m	$\frac{3}{2}0$	1	59° 55'	53° 47'	60° 00'	53° 45'	Glatte, wohlbegrenzte Fl. Refl. scharf lichtstark
t	$+\frac{3}{2}$	5	90 05	66 58	90 00	67 03	Äußerst zart gestreift. Refl. gut
			209 54	66 57	210 00	67 03	" " " Refl.
							etwas gezogen
			329 52	66 58	330 00	67 03	Glatt. Refl. scharf
			269 56	112 57	270 00	112 57	" " " aber schwach
τ	+21	10	150 04	112 58	150 00	112 57	" " " lichtstark
			79 06	67 30	79 06	67 25	Glatt. Refl. gut
			100 50	67 28	100 54	67 25	Refl. gut
			199 11	67 24	199 06	67 25	Glatt. Refl. deutlich
			220 58	67 30	220 54	67 25	" Refl. sehr scharf
			319 08	67 21	319 06	67 25	Glatte, gut begrenzte Fl. Refl. vorzüglich
			340 51	67 19	340 54	67 25	Glatt. Refl. gut
			258 59	112 31	259 06	112 35	" " "
			280 51	112 37	280 54	112 35	" " "
			18 57	112 35	19 06	112 35	Refl. scharf
			40 51	112 38	40 54	112 35	" "

Dieser Krystall ist in verschiedener Hinsicht interessant. Zunächst zeigt er die von Melzer (Zeitschr. Kryst. 1902, 35, 565) neu gefundene Form $\alpha = \frac{5}{2}$ sowohl im + als im — Gebiet, also $\alpha\alpha = \pm \frac{5}{2}$, während Melzer nur $+\frac{5}{2}$ angibt. Ferner zeigt der Krystall die neue Form $\zeta\zeta = \pm \frac{10}{3}$ ebenfalls im + und — Sextanten. α und ζ liegen beide in Zone xx. $x=50$ wurde zuerst von Barvir angegeben (Ann. Wien. Hofmus., 1892, 7, 142) als $\frac{10}{3}P2$, von Nies und Goldschmidt wieder gefunden (Jahrb. Min. 1908, 2, 106) und von diesen irrtümlich für neu gehalten. Auch Scacchis p (Mem. Acc. Napol. 1862, Taf. 4) gehört den Winkeln nach zu dieser Form. x ist an unserem Krystall die herrschende Form und es ist interessant zu sehen, wie die Formen der Zone $x\zeta\alpha$ sich gegenseitig bedingen. Sie bilden zusammen zwischen xx gespannt die Normalreihe N_2 .

Endlich fand sich an vorliegendem Krystall die für Saphir seltene Form $b=\infty(11\bar{2}0)$, die sich an keinem anderen von unseren Saphirkristallen nachweisen ließ. Taf. VIII, Fig. 8^c zeigt diese Form b zugleich mit einer treppenförmig einspringenden Partie, die von den Flächen o r n scharf begrenzt ist.

Buchst.	Symb.	Zahl d. Fl.	Gemessen		Berechnet		Bemerkungen
			φ	ρ	φ	ρ	
x	5 0	6	60 00	77 40	60 00	77 35	Glatt. Refl. sehr scharf
			119 58	77 38	120 00	77 35	" " vorzüglich
			180 05	77 40	180 00	77 35	" " gut
			240 02	77 32	240 00	77 35	" " "
			300 06	77 42	300 00	77 35	" " mäßig
			359 54	77 32	360 00	77 35	" " sehr gut
α.	$-\frac{5}{2}$	2	30 04	75 50	30 00	75 45	Refl. schwach, doch scharf
			270 00	75 47	270 00	75 45	" gut
ζ.	$\frac{10\ 5}{3\ 3}$	2	19 03	76 06	19 06	76 00	Refl. schwach, doch deutlich
			40 51	76 02	40 54	76 00	" " sehr "
ζ	$\frac{10\ 5}{3\ 3}$	1	319 08	76 05	319 06	76 00	Refl. schwach, sehr deutlich

Krystall 9. (Taf. VIII, Fig. 9.)

Dimensionen: Dicke 9 mm, Höhe 12 mm. Leicht gelbliche Färbung. Die durch diesen Krystall vertretene Art der Ausbildung ist für den Saphir häufig und recht charakteristisch. Wir bemerken eine Anzahl steiler Pyramiden in oszillatorischer Kombination. Die Neigung dieser Pyramiden ist schwankend und daher die Symbole unsicher. In das Bild wurden die Buchstaben der bekannten Flächen eingestellt, die den gemessenen Positionen am nächsten kamen. Bemerkenswert ist das Fehlen jeglicher Rhomboeder und Skalenoeder.

Krystall 10. (Taf. VIII, Fig. 10^{a b}.) Kombination: $o a n \vartheta v r s B^*$.

Dimensionen: Dicke 4 mm, Höhe 5 mm. Wasserhell, unten abgebrochen.

Neu ist die Form $B = +91(9.1.\bar{10}.1)$, die mit 3 Flächen beobachtet wurde. Messung und Rechnung stimmen gut überein. Die Form kann als gesichert angesehen werden.

Messungen am **Krystall 9.**

Poldistanz ρ . Gemessen						Berechnet
$\varphi=0^\circ$	$\varphi=60^\circ$	$\varphi=120^\circ$	$\varphi=180^\circ$	$\varphi=240^\circ$	$\varphi=300^\circ$	ρ
61° 13'	61° 14'	61° 12'	61° 12'	61° 09'	61° 15'	$n=20=61^\circ 11'$
61 10	61 14	—		72 36		$K=\frac{7}{2}0=72^\circ 33$
—	72 37	—		72 32		
—	72 30	—		72 36		
74 46	72 29	74 30		74 40		$v=40=74^\circ 37$
74 48	74 36	74 45				
74 39	74 38	79 52	79 37			$A=\frac{11}{2}0=78^\circ 41'$
78 05	74 38	79 14	79 30	79 39	79 38	$z=60=79^\circ 36$
78 30	79 49	79 29	79 35			
—	79 31	79 20				
	79 45	83 30	82 57		83 04	$\vartheta=80=82^\circ 10$
	79 28	82 50	85 02			
		82 31	85 51			
		86 24				$\omega=14.0=85^\circ 30$
		89 47		89 57	89 58	$\alpha=\infty 0=90^\circ 00$

Messungen am **Krystall 10.**

Buchst.	Symb.	Zahl d. Fl.	Gemessen.		Berechnet		Bemerkungen
			φ	ρ	φ	ρ	
B	+9 1	3	65° 00'	83° 30'	65° 12'	83° 25'	Glatt, gut spiegelnd
			114 51	83 27	114 48	83 25	" " "
			354 50	83 41	354 48	83 25	Glatt. Refl. schwach doch deutlich

Krystall 11. (Taf. VIII, Fig. 11^{ab}.) Kombination: o a n v x r.

Dimensionen: Dicke 6 mm, Höhe 8.5 mm. Wasserhell, an beiden Enden ausgebildet. Die untere Basis ist eine Spaltfläche.

B. Rubin von Birma.

Krystall 12. (Taf. VIII, Fig. 12^{ab}.) Kombination: o a n r.

Dimensionen: Dicke 3 mm, Höhe 3 mm. An beiden Enden ausgebildet.

Dieser Krystall zeigt den für Rubin gewöhnlichen, rhomboedrischen Habitus. Es wurden von diesem Habitus mehrere Krystalle

gemessen, jedoch nur dieser eine beschrieben und abgebildet. Die anderen waren ähnlich.

Krystall 13. (Taf. IX, Fig. 13^{a b}.) Kombination: $oa\bar{e}bnr$.

Dimensionen: Dicke 2 mm, Höhe 3.5 mm. Unten abgebrochen. Flächen scharf, jedoch mit gerundeten Kanten.

Neu ist die Form $e=3\infty(31\bar{4}0)$. Sie trat mit einer ziemlich gut ausgebildeten Fläche auf. Bei der befriedigenden Ausbildung der Fläche, der Schärfe des Reflexes und der Einfachheit des Symbols kann die Form als gesichert gelten.

Buchst.	Symb.	Zahl d. Fl.	Gemessen		Berechnet		Bemerkungen
			φ	ρ	φ	ρ	
e	3∞	1	13 55	89 54	13 53	90 00	Ref. scharf

Krystall 14. (Taf. IX, Fig. 14^{a b}.) Kombination: $oanr$.

Dimensionen: Dicke 2 mm, Höhe 3 mm. Unten abgebrochen.

Charakteristisch ist für den Krystall der rein prismatische Habitus. Es herrschen die Flächen o und a, die Rhomboeder r sind ziemlich klein und von den Pyramiden n ist nur eine schmale Fläche ausgebildet. An Stelle der übrigen n-Flächen finden sich Rundungen der Kanten.

Krystall 15. (Taf. IX, Fig. 15^{a b}.) Kombination: $oabn\bar{v}\bar{\theta}r$
p. ζ .

Dimensionen: Dicke 2 mm, Höhe 3 mm. An beiden Enden ausgebildet.

Neu ist die Form $\zeta = +\frac{5}{2}1(52\bar{7}2)$. Messung und Rechnung stimmen gut überein. Die Form ist gesichert.

Buchst.	Symb.	Zahl d. Fl.	Gemessen		Berechnet		Bemerkungen
			φ	ρ	φ	ρ	
\bar{v}	$+\frac{5}{2}1$	2	316 11	70 28	316 06	70 35	Gut spiegelnd. Ref. scharf Ref. etwas gezogen
			344 02	70 27	343 54	70 35	

Unsere 15 Krystalle zeigten folgende Einzelflächen:

Kryst.-Nr.	Kombination	Einzelflächen
1	oanλ zrs	o; a ¹ a ² a ³ a ⁴ a ⁵ a ⁶ ; n ¹ n ² n ³ n ⁴ n ⁵ n ⁶ ; λ ¹ ...λ ⁵ λ ⁶ , z ² ; r ² r ⁴ r ⁶ ; s ³ s ⁵
2	oanv vωr	o; a ¹ a ² ...; n ¹ n ² n ³ n ⁴ n ⁵ n ⁶ ; v ² ; v ¹ ...v ⁵ v ⁶ ; ω ³ ; r ² r ⁴
3	okxrD	o; k ² k ⁴ k ⁶ ; x ¹ x ² x ³ x ⁴ x ⁵ x ⁶ ; r ² r ⁴ r ⁶ ; D ²² DD ⁴⁴ DD ⁶⁶ D
4	oanθωrs	o; a ¹ a ² a ³ a ⁴ a ⁵ a ⁶ ; .n ² n ³ n ⁴ n ⁵ n ⁶ ; θ ¹ .θ ³ .θ ⁵ .; ω ¹ ω ² ω ³ ω ⁴ .ω ⁶ r ² r ⁴ .; s ¹ s ³
5	oank r ¹ h	o; a ¹ a ² a ³ a ⁴ a ⁵ a ⁶ ; .n ² n ³ n ⁴ n ⁵ n ⁶ ; .k ² k ³ .k ⁵ k ⁶ ; r ² r ⁴ r ⁶ h ² ⁶ h
6	anθv ωrsβ	a ¹ a ² a ³ a ⁴ a ⁵ a ⁶ ; . . n ² n ³ n ⁴ n ⁵ n ⁶ ; θ ¹ θ ² θ ⁴ θ ⁵ θ ⁶ ; v ³ ; ω ³ ω ⁵ . . r ⁵ . s ² s ⁴ s ⁶ ; β ²
7	mnwr tτ	m ² ; n ¹ n ⁵ n ⁶ ; w ¹ w ² w ³ w ⁴ w ⁵ w ⁶ ; r ² ; t ² t ⁴ t ⁶ ; τ ²² τ ⁴⁴ τ ⁶⁶ τ w ¹ w ² w ³ w ⁴ w ⁵ w ⁶ . t ² t ⁴ . τ ²² τ ⁴⁴ τ. .
8	abnwx θωραα.ζζ.	a ¹ a ³ a ⁶ ; b ⁶ ; n ¹ n ² n ⁵ n ⁶ .w ⁴ w ⁵ w ⁶ ; x ¹ x ² x ³ x ⁴ x ⁵ x ⁶ ; θ ² θ ⁵ ; ω ¹ ; r ⁶ α ² α ⁴ α ⁶ ; α. ¹ α. ⁵ ; ζ ¹¹ ζ ⁴
10	oanθ vrsB	o; a ¹ a ² a ³ a ⁴ a ⁵ a ⁶ ; n ¹ n ² n ³ n ⁴ n ⁵ n ⁶ ; θ ² θ ³ ; v ¹ ; r ² r ⁶ ; s ⁵ ; ² B ⁶ B
11	oanvxr	o; a ¹ a ⁴ ; n ¹ n ² n ³ n ⁴ n ⁵ n ⁶ ; v ¹ v ² v ³ v ⁴ v ⁵ v ⁶ ; . . . x ⁴ x ⁵ x ⁶ ; r ² o; . . . ; n ² ; v ² v ³ ; . . . x ³ ;
12	oanr	o; a ¹ a ² a ³ a ⁴ a ⁵ a ⁶ ; n ¹ n ² n ³ n ⁴ n ⁵ n ⁶ ; r ² r ⁴ r ⁶ o; ; ; r ³ r ⁵
13	oaebnr	o; a ¹ a ² a ³ a ⁴ a ⁵ a ⁶ ; e ² ; b ¹ b ² b ⁴ ; n ¹ n ² n ³ n ⁴ n ⁵ n ⁶ ; r ² r ⁴ r ⁶
14	oanr	o; a ¹ a ² a ³ a ⁴ a ⁵ a ⁶ ; n ⁶ ; r ² r ⁴ r ⁶
15	oabnv θrpp.ξ	o; a ¹ a ² a ³ a ⁴ a ⁵ a ⁶ ; b ¹ b ⁶ ; n ¹ n ² n ⁵ ; v ¹ ; . . p ⁶ ; p. ¹ p. ³ p. ⁵ ; r ² r ⁴ r ⁶ ; ξ ⁶⁶ ξ o θ ³ ; p. ¹ . . . p. ² ; . .

Bemerkungen zum Projektionsbild Taf. IX, Fig. 16.

Wie aus dem Projektionsbild ersichtlich, hat durch die vorliegende Untersuchung im Verein mit der vorausgehenden von Nies und Goldschmidt das Formensystem des Korund eine wesentliche Abklärung und Ergänzung erfahren. Es entfallen die im Projektionsbild mit * bezeichneten unsicheren Formen und es sind als neu die schwarz ausgefüllten Punkte hinzugetreten.

Das abgeklärte Verzeichnis umfaßt im ganzen 36 sichere Formen, von denen 15 neu sind.

Neu sind alle Skalenoeder. Von diesen waren bisher nur Millers giρ angegeben. Aber auch diese waren unsicher und wurden bisher nicht wieder gefunden.

Wir haben jetzt den + Sextanten einigermaßen reichlich mit Punkten gefüllt und erhalten ein Bild von der Entwicklung in diesem Gebiet, ausstrahlend von $r = +1$ nach dem nun schön besetzten Zonenstück $[x \propto x]$. Hierdurch tritt die wichtige Rolle von $r = +1$ im Formensystem des Korund deutlich hervor.

Diskussion der Zahlen in den Hauptzonen.

Zone **po**: Hauptpyramidenzone. Inneres Stück: **on**.

Buchstabe:	o	π	y	$\overset{*}{m}$?	?	n
Symbol G_2	0	10	$\frac{6}{5}0$	$\frac{3}{2}0$	$\left(\frac{5}{3}0\right)$	$\left(\frac{12}{7}0\right)$	20
$\frac{1}{2}p =$	0	$\frac{1}{2}$	$\frac{3}{5}$	$\frac{3}{4}$	$\frac{5}{6}$	$\frac{6}{7}$	1
$\left(\frac{v}{1-v}\right) =$	0	$\frac{1}{3}$	$\frac{1}{2}$	1	$\left(\frac{5}{3}\right)$	2	∞

Die neue Form $m = \frac{3}{2}0$ paßt gut in die Reihe. $\frac{5}{3}0$ wurde von Nies und Goldschmidt¹⁾ für eine matte Fläche als unsicher angegeben. Die Schimmermessung ergab dort: $\rho = 56^\circ 18$. Unsere Zahlendiskussion läßt $\frac{5}{3}0$ als unwahrscheinlich erscheinen, dagegen das benachbarte $\frac{12}{7}0$ als wahrscheinlich. Mit diesem hätten wir die Normalreihe $N_2 = 0 \frac{1}{2} 12 \infty$. Es erfordert $\frac{12}{7}0$ einen Winkel $\rho = 57^\circ 19$, was für Schimmermessung nicht außer den Grenzen liegt. Natürlich ist $\frac{12}{7}0$, wenn auch wahrscheinlicher gemacht als $\frac{5}{3}0$, noch keineswegs gesichert.

Äußeres Stück: **na**.

Buchstabe:	n	?	?	w	k	v	x	A	z	λ	ϑ	v	ω	a
Symbol G_2	20	$\left(\frac{7}{3}0\right)$	$\left(\frac{12}{5}0\right)$	30	$\frac{7}{2}0$	40	50	$\frac{11}{2}0$	60	70	80	12·0	14·0	$\infty 0$
$\frac{1}{2}p - 1 =$	0	$\frac{1}{6}$	$\frac{1}{5}$	$\frac{1}{2}$	$\frac{3}{4}$	1	$\frac{3}{2}$	$\frac{7}{4}$	2	$\frac{5}{2}$	3	5	6	∞
$\frac{v}{1-v} =$	0	$\left(\frac{1}{5}\right)$	$\left(\frac{1}{4}\right)$	1	3	∞								
				$v - 1 = 0$	$\frac{1}{2}$	$\frac{3}{4}$	1	$\frac{3}{2}$	2	4	5	∞		

¹⁾ Jahrb. Min. 1908, 2, 106.

Als unsicher erscheinen $\frac{7}{3}0$, $\frac{12}{5}0$. $\frac{7}{3}0$ ist von Mohs (Min. 1824, 2, 343) und von Mohs-Haidinger (Min. 1825, 2, 299) vermutlich nach Phillips (Min. 1823, 77), der diese Form $h2$ angibt mit dem Winkel $h2:h2=50^\circ$, als $c=\frac{7}{5}P+1$ angeführt. Hausmann

gibt dafür (Handb. 1847, 2., 245) $BA\frac{1}{6}$ entsprechend $\frac{12}{5}0$ (vgl. Index 2, 246). Kein späterer Beobachter hat eine der beiden Formen gefunden. Sie erscheinen als unsicher. Es dürften Vizinalen zu $n=20$ sein.

Die Formen $v=12.0$ und $w=14.0$ dürften als Vizinalen von $a=\infty 0$ aus der Zone po anzusprechen sein. In der Nähe von a gibt es solche Vizinalen in großer Zahl mit schwankender Position. Sie gehören zu einer eigenartigen Gruppe von Vizinalen in der Nähe des Hauptknotens (Endknotens), die unter dem Namen Marginalien zusammengefaßt werden mögen. Sie verdanken ihre Entstehung einer Stauung (Rückstoß) bei dem Endknoten. Es ist eine bei den Krystallen weit verbreitete Erscheinung. Sie hat ihre Analogie in andern Gebieten, so bei den gestauten Wellen an der Küste, bei den Spektren, den rauen Tönen am Steg der Geige, bei den Asteroiden und dem Saturnring.¹⁾

Die Formen dürften nicht unter die typischen aufzunehmen sein. Man müßte sonst noch viele aus diesem Marginalgebiet aufnehmen, die ebensoviel und ebensowenig typische sind.

Vielleicht wirkt bei Bildung dieser vizinalen noch die Kompositbildung mit (vgl. Jahrb. Min. 1908, 2, 112, 113).

Zone p (positive Rhomboeder).

Buchstabe:	α	γ	δ	ϵ	ζ	η	θ	ι	κ	λ	μ	ν	ξ	π	ρ
Symbol G_2	0	$\frac{1}{5}$	$\frac{2}{7}$	$\frac{1}{3}$	$\frac{1}{2}$	1	$\frac{3}{2}$	2	$\frac{5}{2}$	$\frac{7}{2}$	5	7	∞		
$\frac{2p}{1-p} =$	0	$\frac{1}{2}$	$\frac{4}{5}$	1	2	∞	$0\frac{1}{2}$	1	$\frac{3}{2}$	$\frac{5}{2}$	4	6	∞	$=p-1$	

Wir spalten bei r , der nach $o=0$ wichtigsten Form der Zone. Dadurch erhalten wir ein inneres Stück or und äußeres rb .

¹⁾ Vgl. Harmonie im Weltraume (Ann. d. Naturphilosophie, 1906, 5, 110); dort wurden sie Akzessorien genannt, ein Wort, dem in der Krystallographie eine umfassendere Bedeutung beigelegt wurde.

Inneres Stück **or**. Durch die Transformation $2p: (1-p)$ erscheint dies Stück als die Normalreihe $N_2 = 0\frac{1}{2} 12 \infty$, abgesehen von der Zahl $\frac{4}{5}$, die nicht hereinpaßt, entsprechend einer Form $\frac{2}{7}$. Diese ist von Melzer angegeben, und zwar für künstliche Rubine von Frémy mit einer Fläche, an deren Stelle an den andern Krystallen eine unvollkommene Streifung gefunden wurde. Es dürfte eine Scheinfläche sein und bedarf der Bestätigung.

Das äußere Stück **rb** wird durch die Transformation $p-1$ einfach, $s=2$ ist darin naturgemäß Dominante. Auffallend sind die Zahlen $\frac{5}{2}$; 4; 6 entsprechend den Formen $+\frac{7}{2}$; $+5$; $+7 = \frac{7}{2}R$; $5R$; $7R$. Von diesen ist $+5R$ von Nies und Goldschmidt beobachtet und als gesichert anzusehen (Jahrb. Min.). $+\frac{7}{2}$ gibt Klein (Jahrb. Min. 1871, 487) zugleich mit $-\frac{7}{2}$ als gesichert.

$+7$ ist von Busz angegeben (Zeitschr. Kryst. 1889, **15**, 623), jedoch ohne Messung und mit der Bemerkung „tritt nur schmal auf, ist häufig unterbrochen und eingekerbt“. Die Form bedarf der Bestätigung.

Die auffallenden Zahlen $\frac{5}{2}$, 4 für β , p dürften in der Unsicherheit des Vorzeichens \pm begründet sein, die zusammenhängt einerseits mit dem Konflikt zwischen der rhomboedrischen Entwicklung, ausgehend von $r = +1$ und der holoedrischen, ausgehend von $n = 02$; andererseits von der Kompositbildung, die die Zeichen \pm vertauscht (vgl. Zeitschr. Kryst. 1907, **43**, 353).

$\beta = -\frac{7}{2}$; $p = -5$ passen in die Zahlenreihe der negativen Rhomboeder $-p$.

Zone — p (negative Rhomboeder).

Buchstabe:	δ .	r .	$?$	s .	β .	p .	b
Symbol $p =$	$-\frac{1}{2}$	-1	$-\frac{7}{6}$	-2	$-\frac{7}{2}$	-5	$-\infty$
$\frac{p+2}{3}$	$= \frac{1}{2}$	$\frac{1}{3}$	$\frac{5}{18}$	0	$\frac{1}{2}$	$\bar{1}$	∞

Die Reihe erscheint normal, wenn wir den Anfang (o) in $s = -2$ legen, was den Verhältnissen entspricht. $\beta = -\frac{7}{2}$ (Klein) paßt herein, dagegen paßt $+\frac{7}{2}$ nicht in die Reihe der positiven Rhomboeder, wie oben ausgeführt.

Die Zahl $\frac{5}{18}$ paßt nicht. Sie gehört zu der von Melzer (Zeitschr. Kryst. 1902, **35**, 571) gegebenen Form $-\frac{7}{6}$. Er fand sie mit einer Fläche in der von ihm als gestreift bezeichneten Zone $c r$ an einem künstlichen Frémyschen Krystall. Die Form bedarf der Bestätigung.

$r = -1$ ist gleichzeitig Dominante zwischen $n n$.

Zone $n a$.

Buchstabe:	n	τ	s	χ	a
$p q =$	02	+ 12	+ 2	+ 82	$\infty 0$
$\frac{1}{2} p =$	0	$\frac{1}{2}$	1	4	∞

Auffallend ist die Zahl 4, entsprechend der schwachen, aber gesicherten Form $\chi = 82$ (vgl. Nies und Goldschmidt, Jahrb. Min. 1908, **2**, 109).

Zone $x \alpha$.

Buchstabe:	x	φ	ζ	α
Symbol =	50	41	$\frac{10}{3} \frac{5}{3}$	$\frac{5}{2}$
$\frac{2}{5} q =$	0	$\frac{2}{5}$	$\frac{2}{3}$	1
$\frac{2}{2(1-v)} =$	0	$\frac{1}{3}$	1	∞

Das Symbol der neuen Form ζ wird durch diese Diskussion verständlich.

Zone $r a$.

Buchstabe:	r	τ	ζ	φ	B	a
Symbol =	1	21	$\frac{5}{2} 1$	41	91	$\infty 0$
$\frac{1}{3}(p-1) =$	0	$\frac{1}{3}$	$\frac{1}{2}$	1	$\frac{8}{3}$	∞

Die Zahl $\frac{8}{3}$ entsprechend $B = 91$ paßt nicht in die Reihe. Doch ist die Form durch die Messung als gesichert anzusehen (vgl. pag. 468).

Prismenzone.

Buchstaben:	a	e*	F	b	F	e*	a
Symbol	$= 0\infty$	$\infty 3$	$\infty \frac{3}{2}$	∞	$\frac{3}{2}\infty$	3∞	$\infty 0$
	∞	3	$\frac{3}{2}$	1	$\frac{2}{3}$	$\frac{1}{3}$	0

Die Prismenzone ist arm. Häufig nur $a = \infty 0$; $b = \infty$ fehlt beim Saphir fast ganz und ist auch beim Rubin selten. $F = \infty \frac{3}{2}$ findet sich bei Mohs-Haidinger (1825). Kopiert von Miller (Min. 1852, 242) als $F = 5\bar{2}3$ und von Dana (Syst. 1892, 211) als $F = (71\bar{8}0)$. Überall ohne Kombination, Messung oder Fundort. Bedarf der Bestätigung.

Unsichere Formen

$g = + \frac{7}{4} \frac{1}{4} (71\bar{8}4)$	} finden sich nur bei Miller (Min. 1852, 242) an Krystallen der Brookeschen Sammlung, jedoch ohne Messungen oder Angaben über Flächenbeschaffenheit. Von i sagt er, es sei in unbestimmten Spuren gefunden.
$i = + \frac{8}{5} \frac{2}{5} (8.2.\bar{1}0.5)$	
$\varphi = - \frac{4}{3} \frac{2}{3} (4\bar{2}63)$	

Die Formen bedürfen der Bestätigung.

i in der Figur pag. 74 von Philipps Mineralogy 1823 könnte mit Millers φ identisch sein, doch fehlen Messungen. Es ist unsicher.

Über $\frac{3}{2}\infty$, $\frac{5}{3}0$, $\frac{12}{7}0$, $\frac{7}{3}0$, $\frac{12}{5}0$, $\frac{27}{2}0$, $+\frac{7}{2}$, $-\frac{7}{6}$, $+\frac{7}{2}$ vgl. pag. 472, 474 dieser Abhandlung.

$\frac{15}{4}0$ gibt Barviř (Ann. Wien. Hofmus. 1892, 7, 136) als $p = \frac{5}{2}P2$ als herrschende Form an einem Zwilling. Das Symbol ist unwahrscheinlich. Die angegebene Poldistanz $74^\circ 18'$ steht der häufigen Form $v = 40 = 74^\circ 37'$ so nahe, daß zweifellos diese vorliegt. $\frac{15}{4}0$ ist unsicher.

Barviř gibt (Ann. Wien. Hofmus. 1892, 7, 142 und Sitz. Böhm. Ges. Wiss. 1893, Sep. pag. 6) die folgenden mit geringer Sicherheit konstatierten Formen mit stark variierenden Winkeln.

$37P2$	$28P2$	$17P2$	$\frac{15}{2}P2$	$6P2$	$5P2$	$9P2$	$\frac{13}{3}P2$	$\frac{15}{2}P2$
$\frac{111}{2}.0$	42.0	$\frac{51}{2}.0$	$\frac{45}{4}.0$	9.0	$\frac{15}{2}.0$	$\frac{27}{4}.0$	$\frac{13}{2}.0$	$\frac{45}{8}.0$
$\frac{27}{8}P2$	$\frac{26}{9}P2$	$3P2$	$\frac{11}{4}P2$	$\frac{11}{5}P2$	$\frac{7}{4}P2$	$\frac{17}{9}P2$	$P2$	
$\frac{91}{16}.0$	$\frac{13}{3}.0$	$\frac{9}{2}.0$	$\frac{33}{8}.0$	$\frac{33}{10}.0$	$\frac{21}{8}.0$	$\frac{17}{8}.0$	$\frac{3}{2}.0$	

Sie gehören zu den beim Korund häufigen, oszillatorischen Streifen schwankender Position, von denen unser Krystall 9 sowie Barviř, Fig. 5, pag. 141 ein Beispiel geben. Die Symbole sind alle unsicher. (Siehe Tabelle pag. 477.)

Die folgende Vergleichstabelle möge dazu dienen, das Lesen der Literatur und das Verständnis der publizierten Figuren zu erleichtern. (Siehe Tabelle pag. 478.)

Zusammenstellung der unsicheren Formen.

Nr	Symbol	Bravais	Autor und Jahr	$\frac{a}{b}$	$\frac{c}{a}$	Bravais	Autor und Jahr	$\frac{a}{b}$	$\frac{c}{a}$	Bravais	Autor und Jahr
1	$\frac{7}{3} 0$	7073	e Mohs 1824	11	$\frac{51}{2} 0$	51.0.51.2	17 P2 Barviř 1892	21	$\frac{33}{8} 0$	33.0.33.8	$\frac{11}{4}$ P2 Barviř 1892
2	$\frac{3}{2} \infty$	3250	(P+ ∞) ⁵ Mohs-Haidinger 1845	12	$\frac{45}{4} 0$	45.0.45.4	$\frac{15}{2}$ P2 "	22	$\frac{15}{4} 0$	15.0.15.4	$\frac{5}{2}$ P2 "
3	$\frac{12}{5} 0$	12.0.12.5	Mohs-Haidinger	13	90	9091	6 P2 "	23	$\frac{33}{10} 0$	33.0.33.10	$\frac{11}{5}$ P2 "
4	$\frac{7}{4} + \frac{1}{4}$	7184	g=511 Miller 1852	14	$\frac{15}{2} 0$	15.0.15.2	5 P2 "	24	$\frac{21}{8} 0$	21.0.21.8	$\frac{7}{4}$ P2 "
5	$\frac{8}{5} + \frac{2}{5}$	8.2.10.5	i=411 "	15	$\frac{27}{4} 0$	27.0.27.4	9 P2 "	25	$\frac{17}{8} 0$	17.0.17.8	$\frac{17}{9}$ P2 "
6	$\frac{4}{3} + \frac{2}{3}$	4263	p=753 "	16	$\frac{13}{2} 0$	13.0.13.2	$\frac{13}{3}$ P2 "	26	$\frac{3}{2} 0$	3032	P2 "
7	$\frac{7}{2} + \frac{1}{2}$	7.7.11.2	$\frac{7}{2}$ R Klein 1871	17	$\frac{45}{8} 0$	45.0.45.8	$\frac{15}{2}$ P2 "	27	$\frac{7}{6} - \frac{1}{6}$	7.7.14.6	Melzer 1902
8	7 + 7	7.7.14.1	+ 7 R Busz 1889	18	$\frac{91}{16} 0$	91.0.91.16	$\frac{27}{8}$ P2 "	28	$\frac{5}{3} 0$	5053	Nies u. Gdt. 1908
9	$\frac{111}{2} 0$	111.0.111.2	37 P2 Barviř 1892	19	$\frac{13}{3} 0$	13.0.13.3	$\frac{26}{9}$ P2 "	29	$\frac{12}{7} 0$	12.0.12.7	" "
10	42.0	42.0.42.1	23 P2 "	20	$\frac{9}{2} 0$	9092	3 P2 "				

Vergleichstabelle.

N.	Buchst.	Symbol	Miller	Naumann	Hay 1822	Phillips 1823	Mohs 1824	Naumann 1828	Mohs-Haid. 1825	Mohs-Zippe 1839	Lévy 1837	Hausmann 1847	Miller 1852	Koksharov 1853, 1870	Dana 1855	Klein 1871 Jerem. 1877	Mallet 1887 Busz 1889	Brühns 1890	Frémy 1891	Dana 1892	Brauer 1896	Melzer 1902
1	o	111	oP	o	o	o	o	o	o	a ¹	o	o	o	o	o	oR	oR	c	a ₁	c	c	o
2	a	∞0	∞P2	s	s	s	s	s	s	d ¹	s	s	a	l	i2	∞P2	∞P2	.	.	a	a	a
3	b	∞	∞P	R+∞	e ²	ε	b	b	.	I	m	m	.
4	f	$\frac{3}{2}\infty$	$\frac{4}{3}\infty R$	(P+∞) ⁵	.	.	f	f	.	$i\frac{8}{7}$	f	.	.
5	π	10	$\frac{2}{3}P2$	b ²	.	.	.
6	y	$\frac{6}{5}0$	$\frac{4}{5}P2$	$\frac{3}{5}P+1$	o	.	o	.	.
7	n	20	$\frac{4}{3}P2$	r	h1	r	r	r	r	e ³	r	n	n	n	$\frac{4}{3}P2$	$\frac{4}{3}P2$	$\frac{4}{3}P2$	n	e ₃	n	n	n
8	μ	$\frac{7}{3}0$	$\frac{14}{9}P2$	c	h2	c	c	c	c	.	BA $\frac{5}{8}$	5	5	.	$\frac{14}{9}P2$	5	.	.
9	w	30	2P2	h	h3	h	h	h	.	.	BA $\frac{1}{2}$	w	w	.	22	.	2P2	.	.	w	.	w
10	k	$\frac{7}{2}0$	$\frac{7}{3}P2$.	h4	BA $\frac{3}{7}$	k	k	.	$\frac{7}{3}P2$	k	.	.
11	v	40	$\frac{8}{3}P2$	h5	h5	b	b	b	b	.	BA $\frac{3}{8}$	v	v	.	$\frac{8}{3}P2$	$\frac{8}{3}P2$	$\frac{8}{3}P2$.	.	v	.	v
12	A	$\frac{11}{2}0$.	h6	h6	$\frac{11}{3}P2$.	.	u	.	.
13	Z	60	4P2	h7	h7	l	l	l	l	d ¹ d ¹ d ¹	l	z	z	m	42	4P2	4P2	.	.	z	.	.

Vergleichstabelle (1. Fortsetzung.)

Nr.	Buchst.	Symbol	Miller	Naumann	Hany 1822	Phillips 1823	Mohs 1824	Naumann 1828	Mohs-Haid. 1825	Mohs-Zippe 1834	Levy 1837	Hausmann 1847	Miller 1852	Koksharov 1853, 1870	Dana 1855	Klein 1871 Jerem. 1877	Mallet 1877 Busz 1889	Bruhns 1890	Frémy 1891	Dana 1892	Bauer 1896	Brauns 1906	Melzer 1902
14	λ	70	815	$\frac{14}{3} P2$	$\frac{14}{3} P2$.	.	.	λ	.	.	.
15	ϕ	80	917	$\frac{16}{3} P2$.	.	e	e	e	e	.	$\left(BA\frac{1}{5}\right)$	ϕ	.	$\frac{16}{3}$.	$\frac{16}{3} P2$.	.	ϕ	.	.	.
	ψ	12.0	13.1.11	8 P2	.	?h8	.	.	$\frac{3}{4} P+4$	$\frac{3}{4} P+4$	$d^2 d^3 d^4$.	v	s	82	ψ	.	.	.
		14.0	15.1.13	$\frac{28}{3} P2$	$\left(\frac{28}{3} P2\right)$	$\frac{28}{3} P2$.	.	ω	.	.	.
		$1 + \frac{1}{5}$	733	$\frac{1}{5} R$	$\frac{1}{5} R$.	.	.	γ	.	.	.
19	δ	$1 + \frac{1}{3}$	522	$\frac{1}{3} R$.	b1	AH3	δ	.	$\frac{1}{3}$	δ	.	.	.
20	dd	$\pm \frac{1}{2}$	411	$\frac{1}{2} R$.	b2	AH2	d	.	$\frac{1}{2}$	d	.	.	.
21	rr	± 1	100 221	R	P	.	P	P	P	P	p	P	r n	R	± 1	+R	R	R	p^0	r η	dr	r η	.
22	s	-2	111	-2R	a	.	a	a	a	a	.	a	s	.	-2	.	.	d	e^1	s	.	.	.
23	$\alpha\alpha$	$\pm \frac{5}{2}$.	$\frac{5}{2} R$	$\frac{5}{2} R$.
24	$\beta\beta$	$\pm \frac{7}{2}$	16.5.5 433	$\frac{7}{2} R$	$\frac{7}{2} R$.	.	.	b β	.	.	.
25	q	+7	.	7R	7R	.	.	q	.	.	.

Vergleichstabelle (2. Fortsetzung).

Nr.	Buchst.	Symbol G_2	Miller	Naumann	Hany 1822	Phillips 1823	Mohs 1824	Naumann 1828	Mohs-Haid. 1825	Mohs-Zippel 1839	Levy 1837	Hausmann 1847	Miller 1852	Kokscharow 1853, 1870	Dana 1855	Klein 1871 Jerem. 1877	Mallet 1887 Busz 1889	Brühns 1890	Frémy 1891	Dana 1892	Brauns 1906	Melezer 1902
26	g	$7 \frac{1}{4}$	511	$1 R \frac{5}{4}$	g	.	$1 \frac{5}{4}$	g	.	.
27	i	$8 \frac{2}{5}$	411	$2 R \frac{3}{5}$	i	.	$2 \frac{3}{5}$	i	.	.
28	ℓ	$4 \frac{2}{3}$	753	$2 R \frac{5}{3}$.	? 2	ℓ	.	$2 \frac{5}{3}$	ℓ	.	.

Neue Formen.
Goldschmidt, Nies und Schroeder.

Nr.	29	30	31	32	33	34	35	36	37	38	39	40	41	42	43
Buchst.	e	m	x	t	α'	pp'	τ	ξ	φ	B	γ.	ψ	h	δ	D
Symbol G_2	3∞	$3 \frac{0}{2}$	50	$3 \frac{3}{2}$	5	± 5	$+21$	$+\frac{5}{2}$	± 41	$+91$	-82	$+\frac{51}{3}$	$+\frac{84}{5}$	$10 \frac{5}{3}$	$4 \frac{8}{9}$
Bravais	3140	3032	5051	3362	$5.5.10.2$	$5.5.10.1$	5272	4151	$9.1.10.1$	$8.2.10.1$	5163	$8.4.12.5$	$10.5.15.3$	$12.8.20.9$	

Kombinationen.

Nr.	Buchstabe, Gdt. u. Schr.	Autor	Jahr	Nr.	Buchstabe, Gdt. u. Schr.	Autor	Jahr
1	r	Haüy	1801	40	arn	Lévy	1837
2	or	"	"	41	orz	"	"
3	oa	"	"	42	oanλ	"	"
4	oar	"	"	43	onz	"	"
5	oanr	"	"	44	onzr	"	"
6	n	"	1822	45	oabnr	Miller	1852
7	w	"	"	46	ar	"	"
8	on	"	"	47	rn	"	"
9	oan	"	"	48	zn	"	"
10	nz	"	"	49	oanr	"	"
11	oz	"	"	50	orz	"	"
12	oarn.....?ρ	Phillips	1823	51	onz	"	"
13	anwkvAzv.....?μ	"	"	52	onzr	"	"
14	azvr	"	"	53	anvs	"	"
15	or	Mohs	1824	54	oabnr	"	"
16	oa	"	"	55	oabzw	"	"
17	oar	"	"	56	oanrr'...?ρ	"	"
18	oanr	"	"	57	oanvrs...?δg	"	"
19	anvs	"	"	58	oz	Kokscharow	1853
20	oazθ.....?μ	"	"	59	ozr	"	"
21	n	"	"	60	onzr	"	"
22	r	"	"	61	ozωr	"	"
23	or	Naumann	1828	62	oanzr	"	"
24	oa	"	"	63	oanzωr	"	"
25	oar	"	"	64	oanr	"	"
26	oanr	"	"	65	oa	"	"
27	anvs	"	"	66	z	"	"
28	oazθ.....?μ	"	"	67	onz	"	"
29	r	Lévy	1837	68	ozω	"	"
30	or	"	"	69	oω	"	"
31	nr	"	"	70	onzω	"	"
32	oa	"	"	71	oanzω	"	"
33	an	"	"	72	anvs	Dana	1855
34	on	"	"	73	oanr	"	"
35	oz	"	"	74	oanr	Scacchi	1862
36	nz	"	"	75	onλrβ'.....?β	Klein	1871
37	oar	"	"	76	oanλr	"	"
38	onr	"	"	77	onzωr	Dana	1873
39	oanr	"	"	78	n	"	"

Kombinationen (Fortsetzung).

Nr.	Buchstabe, Gdt. u. Schr.	Autor	Jahr
79	oayr	Jeremejew	1877
80	oanyr	"	"
81	oanr	"	"
82	oanzor	"	"
83	oanw	"	"
84	oanzor	"	1878
85	or	Lasaulx	1885
86	ow	Mallet	1887
87	ov	"	"
88	oz	"	"
89	oar	"	"
90	oanr	"	"
91	oanr	Bruhns	1890
92	or	Frémy	1891
93	orr	"	"
94	or	"	"
95	onr	"	"
96	or	Barviř	1892
97	aw	"	"
98	wo	"	"
99	ov	Dana	1892
100	oar	"	"
101	oanzr	"	"
102	or	Bauer	1896
103	oar	"	"
104	oanr	"	"
105	oadnr	"	"
106	oadnr	"	"
107	oanwr	"	"
108	or	Pratt	1897
109	oa	"	"
110	oar	"	"
111	oanr	"	1899
112	or	"	"
113	onr	"	"
114	or	Mügge	1899
115	or	Melczer	1902

Nr.	Buchstabe, Gdt. u. Schr.	Autor	Jahr
116	ow	Melczer	1902
117	oa	"	"
118	ar	"	"
119	oar	"	"
120	oanr	"	"
121	onr	"	"
122	onr	"	"
123	oanr	Hidden	1902
124	oa	Brauns	1906
125	oan	"	"
126	oanr	"	"
127	ow	"	"
128	onor	"	"
129	v	"	"
130	nzθ	"	"
131	λ(zθ)	"	"
132	ov	"	"
133	ow	"	"
134	oanv	"	"
135	oanxθtrs	Nies u. Gdt.	1908
136	oanwxzrsαβpφ	"	"
137	oanλrXB	"	"
138	oanwzλθrs	"	"
139	oanwxλθ	"	"
140	amnwrtτ	Gdt. u. Schr.	1910
141	oankrψh	"	"
142	oanθors	"	"
143	oanvvr	"	"
144	anθvorsβ	"	"
145	oanvvr	"	"
146	oanλzrs	"	"
147	oanθvrsB	"	"
148	abnwxθrαα·ζζ·	"	"
149	okxrD	"	"
150	oabnvrppξ	"	"
151	oabnvr	"	"
152	oanr	"	"

Statistik der Flächengrößen.

Als Kriterien für die Rangordnung der Flächen, das heißt der Rolle, die sie im Formensystem der Krystallart spielen, hatten wir folgende kennen gelernt.

1. Die Rolle in der Entwicklung der Formen. (Hauptknoten der Formenentwicklung.)

2. Zwillings Ebenen. Verknüpfungsebenen bei regelmäßiger Verwachsung.

3. Spaltflächen, Gleitflächen und sonstige Strukturflächen.

4. Ort der Ätzfiguren auf den Krystallen und Ecken der Lösungskörper; Bildung von Ätzgrübchen auf den Hauptflächen.

5. Häufigkeit der Formen, gemessen durch Statistik der bekannten Kombinationen.

6. Als besonders wichtiges Kriterium tritt die relative Größe der Flächen hinzu. **Die größten können wir als die wichtigsten ansehen.**

So einfach das scheint, so schwer ist es, sich ein strenges Urteil über die relative Flächengröße zu bilden.

Es soll nun versucht werden, aus den publizierten Krystallbildern (zunächst für den Korund) eine Statistik der Flächengrößen zu gewinnen. Diese soll dann neben die Statistik der Häufigkeit gestellt werden. So wird sich zeigen, ob in der Tat die größten Flächen die häufigsten sind.

Als Unterlage für die Statistik der Flächengrößen dienten die von Goldschmidt für den in der Ausarbeitung befindlichen Atlas der Krystallformen gesammelten Krystallbilder. Diese Sammlung ist bereits so weit fortgeschritten, daß sie im wesentlichen das von den Beobachtern Publiizierte enthält, daß also (wenn auch noch einige Ergänzungen dazu kommen werden) die allgemeinen Schlüsse aus dem Material zuverlässig sind.

Eine Schwierigkeit besteht darin, daß es fraglich ist, wie man die Flächengrößen vergleichen, die Summen ziehen soll, man kann nicht die Flächengrößen in den Figuren messen und addieren.

Der beste Weg schien der, die Flächenarten in 3, eventuell 4 Größengruppen zu teilen und die Flächen der Figuren auf die Gruppen zu verteilen.

Die Gruppen mögen folgende sein:

Statistik der Flächengrößen.

Komb. Nr.	Flächengröße			Komb. Nr.	Flächengröße			Komb. Nr.	Flächengröße			Komb. Nr.	Flächengröße		
	I.	II.	III.		I.	II.	III.		I.	II.	III.		I.	II.	III.
1	r			69	oo			106	r	o	and	118	ar		
2	n			70	ozoo	n		108	or			119	oa		r
3	oa			71	oazoo	n		108	o	r		119	or	a	
4	oa	r		72	an	vs		108	o		r	119	o	ar	
5	oa	r	n	73	oa	nr		109	o	a		119	o		ar
6	n			74	oanr			110	oa	r		120	o	ar	n
7	w			75	oλββ.	nr		111	oa	nr		120	oar	n	
8	on			77	onzor			111	oanr			120	or	a	n
9	on	a		78	n			112	o	r		120	r	o	an
10	nz			85	r	o		112	o		r	120	oa		nr
11	oz			86	w		o	113	onr			120	oanr		
12	a	vnr	(p)	87	v		o	114	o		r	121	or		n
18	oa	rn		87	ov			115	o	r		123	oar	n	
19	ano	s		88	oz			115	o			125	oa	n	
20	oaz	uθ		89	oa	r		116	w		o	127	oo		
31	nr			90	oan	r		117	oa			128	oo	nr	
33	n	a		91	or	an		Flächengröße							
35	oz			92	or			Komb. Nr.							
38	on	r		93	o	rr.			I.	II.	III.				
39	oan	r		94	o	rπ		135	oa		nxt	θs			
40	anr			95	o	rn		136	oa		nwzφ	xrsdβp			
41	oz	r		96	r	o		137	λr		o	nXB			
44	oz	nr		97	aw			138	aλw		on	xθ			
45	oanr	b		98	w	o		139	aθnr		oλ	wzs			
49	oanr			99	v	o		140	wr		anmt	τ			
53	anv	s		100	or	a		141	onka		r	hϕ			
54	oanr		b	101	oaz	nr		142	oanθor		s				
58	oz			102	or			143	oanvxt						
59	oz	r		103	or	a		144	anθnør		sβ				
60	oz	nr		103	oa	r		145	anvvo		o				
62	anzr	o		103	oa		r	146	oanrs		λz				
63	oanzr		ω	104	oanr			147	ars		nBvθ	o			
64	oa	nr		104	oar	n		148	ax		nwθra.	baζζ.			
65	oa			104	r	oa	n	149	xr		okD				
66	z			104	a	or	n	150	oar		bnvθppξ				
67	oz	n		105	o	an	dr	151	oa		benr				
68	ow	z						152	oa		nr				
								152	oar		n				

Relative Größe der Flächenarten.

Aus der Statistik pag. 484.

Buchst.	o	r	n	a	z	ω	w	v	ϑ	λ	z	b	ν	k	β	r'	α	p	τ
I	87	41	33	56	17	8	4	7	3	3	3		2	1	1				
II	15	33	30	13	3		2	2	3	2	1	3	1	1	1	1		1	1
III	4	9	10	3	1	1	1		1		2	1					2	1	1

Buchst.	B	ς	e	m	π	d	d'	t	α	p'	ξ	φ	χ	ψ	h	ζ	ζ'	D
I																		
II	1		1	1	1			1	1	1	1	1						1
III	1	1				1	1						1	1	1	1	1	

Rangordnung der Flächenarten. Zusammensetzung.

Auf den pag. 483 genannten 6 verschiedenen Wegen erhalten wir unabhängig die Rangordnung der wichtigsten Flächenarten:

1. Aus Entwicklung der Formen: o a r n
(vgl. Proj.-Bild, Taf. IX, Fig. 16, sowie Diskussion pag. 471—475).
2. Aus Zwillingen und Kompositen: o r
(vgl. Nies und Goldschmidt, Jahrb. Min. 1908, 2, 104).
3. Aus Spalt-, Gleit- und Absonderungsflächen: o r a
(vgl. Hintze, Min. 1907, 1, 1742).
4. Aus Ätzfiguren: o n r a
(vgl. Hintze, Min. 1907, 1, 1747).
5. Aus der relativen Häufigkeit der Flächen: o r n a
(siehe oben pag. 485).
6. Aus relativer Größe der Flächen o a r n.
(siehe oben).

Ein Blick auf diese Zusammenstellung zeigt, daß auf jedem der 6 Wege dieselben Hauptflächenarten gefunden werden. Nämlich o r n a. o ist immer die stärkste Form. Bei den anderen wechselt die Rangordnung, indem einige ihre Stelle vertauschen.

Winkeltabelle
der sicheren Formen.

$c = 1.3636 \quad \lg c = 0.13468 \quad \lg a_0 = 0.10387 \quad \lg p_0 = 9.95859 \quad a_0 = 1.2702 \quad p_0 = 0.9091 \quad (G_s)$												
N.	Buchstabe	Symb.	Bravais	φ	ρ	ξ_0	η_0	ξ	η	X (Prismen) (x : y)	y	d = $\lg \rho$
1	0	0	0001	—	0° 00'	0° 00'	0° 00'	0° 00'	0° 00'	0	0	0
2	a	$\infty 0$	1010	0° 00	90 00	0 00	90 00	0 00	90 00	0	∞	∞
3	e	$\frac{3}{2} \infty$	3140	13 53	90 00	0 00	90 00	13 53	76 07	0.2474	∞	∞
4	b	∞	1120	30 00	90 00	90 00	90 00	30 00	60 00	0.5773	∞	∞
5	y	$\frac{6}{5} 0$	6065	0 00	47 29	0 00	47 29	0 00	47 29	0	1.0909	1.0909
6	m	$\frac{3}{2} 0$	3032	0 00	53 44	0 00	53 44	0 00	53 44	0	1.3636	1.3636
7	π	10	1011	0 00	42 16	0 00	42 16	0 00	42 16	0	0.9091	0.9091
8	n	20	2021	0 00	61 11	0 00	61 11	0 00	61 11	0	1.8181	1.8181
9	w	30	3031	0 00	69 52	0 00	69 52	0 00	69 52	0	2.7271	2.7271
10	k	$\frac{7}{2} 0$	7072	0 00	72 33	0 00	72 33	0 00	72 33	0	3.1817	3.1817
11	v	40	4041	0 00	74 37	0 00	74 37	0 00	74 37	0	3.6364	3.6364
12	x	50	5051	0 00	77 35	0 00	77 35	0 00	77 35	0	4.5453	4.5453
13	A	$\frac{11}{2} 0$	11.0.11.2	0 00	78 41	0 00	78 41	0 00	78 41	0	4.9998	4.9998
14	z	60	6061	0 00	79° 36'	0 00	79 36'	0 00	79 36'	0	5.4543	5.4543
15	λ	70	7071	0 00	81 04	0 00	81 04	0 00	81 04	0	6.3634	6.3634
16	ϕ	80	8081	0 00	82 10	0 00	82 10	0 00	82 10	0	7.2725	7.2725
17	ν	120	120.12.1	0 00	84 46	0 00	84 46	0 00	84 46	0	10.909	10.909
18	ω	140	140.14.1	0 00	85 30	0 00	85 30	0 00	85 30	0	12.727	12.727
19	γ	$\frac{1}{5} + \frac{1}{5}$	1125	30 00	17 29	8 57	15 15	8 38	15 04	0.1574	0.2727	0.3149

Winkeltabelle
der sicheren Formen (Fortsetzung).

N.	Buch- stabe	Symb.	Bravais	φ	ρ	ξ_0	η_0	ξ	η	X (Prismen) (x : y)	Y	$\frac{d}{\tan p}$
20	δ	$+\frac{1}{3}$	1123	30° 00'	27° 41'	14° 42'	24° 26'	13° 26'	23° 44'	0.2624	0.4545	0.5249
21	dd.	$+\frac{1}{2}$	1122	30 00	38 12	21 29	34 17	18 01	32 32	0.3936	0.6818	0.7873
22	rr.	$\pm\frac{1}{1}$	1121	30 00	57 35	38 12	53 44	24 58	46 58	0.7873	1.3636	1.5745
23	t	$+\frac{3}{2}$	3352	30 00	67 °03	49 44	63 56	27 25	52 53	1.1819	2.0452	2.3618
24	s	$-\frac{2}{2}$	2241	30 00	72 23	57 35	69 52	28 27	55 38	1.5745	2.7271	3.1491
25	$\alpha\alpha$.	$\pm\frac{5}{2}$	5.5.10.2	30 00	75 44	63 04	73 39	28 59	57 04	1.9681	3.4090	3.9363
26	β	$-\frac{2}{2}$	7.7.14.2	30 00	79 43	70 03	78 10	29 28	58 26	2.7555	4.7706	5.5109
27	pp.	$\pm\frac{5}{3}$	5.5.10.1	30 00	82 45	75 44	81 39	29 44	59 13	3.9363	6.8179	7.8726
28	τ	$+\frac{21}{21}$	2131	19 06	67 25	38 12	66 15	17 35	60 45	0.78725	0.2726	
29	ξ	$+\frac{5}{2}$	5272	16 06	70 35	38 12	69 52	15 20	64 58	0.78725	2.7272	2.8385
30	$\varphi\varphi$.	$+\frac{41}{41}$	4151	10 53	76 30	38 12	76 16	10 35	72 43	0.78725	4.0907	4.1658
31	B	$+\frac{91}{91}$	91.10.1	5 12	83 25	38 12	83 23	5 10	81 37	0.78725	8.6359	8.6716
32	z	$-\frac{82}{82}$	82.10.1	10 53	83 09	57 35	83 02	10 49	77 09	1.5745	8.1815	8.3316
33	ψ	$+\frac{5}{3}$	5153	8 57	59 20	14 42	59 02	7 41	58 11	0.26252	1.6666	1.6872
34	h	$+\frac{8}{4}$	8.4.12.5	19 06	62 32	32 12	61 11	16 53	56 58	0.62981	1.8181	1.9241
35	$\zeta\zeta$.	$\pm\frac{10}{3}$	10.5.15.3	19 06	75 59	52 41	75 12	18 31	66 27	1.3121	3.7877	4.0085
36	D	$+\frac{4}{8}$ $+\frac{3}{9}$	12.8.20.9	23 25	60 24	34 59	58 15	20 13	52 56	0.69979	1.1616	1.7612

Fig. 1 a.

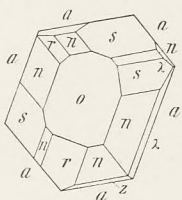


Fig. 2 a u. b.

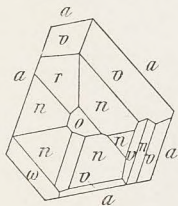


Fig. 3 a.

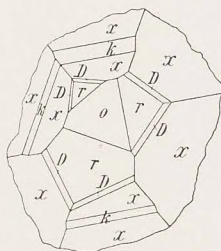


Fig. 1 b.

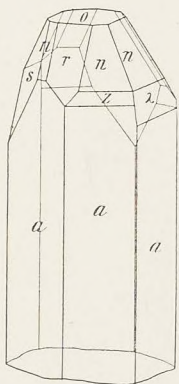


Fig. 3 b.

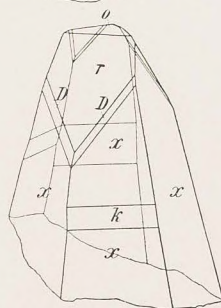


Fig. 4 a.

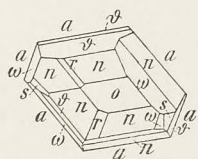


Fig. 6 a.

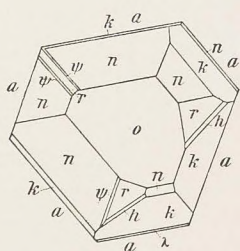
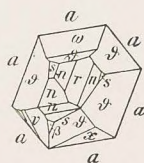


Fig. 5 a u. b.

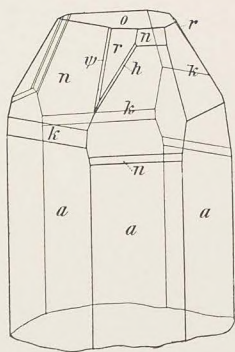


Fig. 6 b.

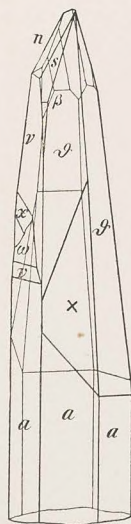


Fig. 4 b.

R. Schroeder del.



Fig. 8 a u. b.

Fig. 7 a.

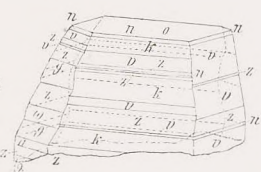
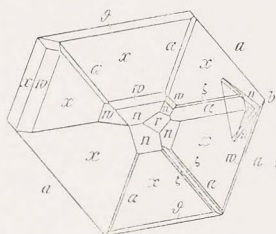
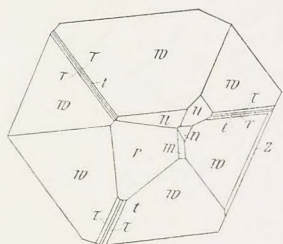


Fig. 9.

Fig. 7 b.

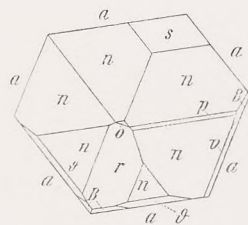
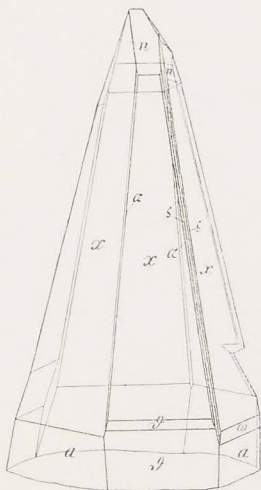
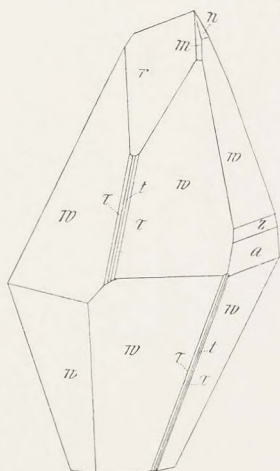


Fig. 10 a.

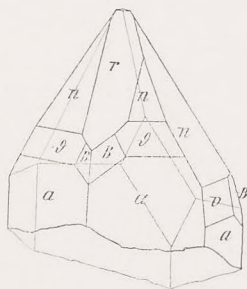


Fig. 10 b.

Fig. 11 a.

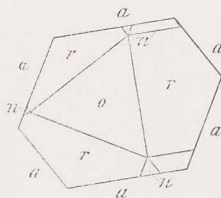
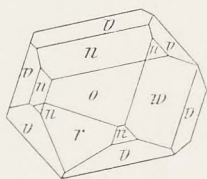


Fig. 12 a.

Fig. 11 b.

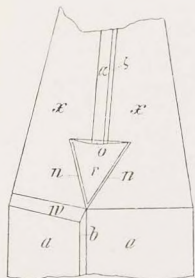
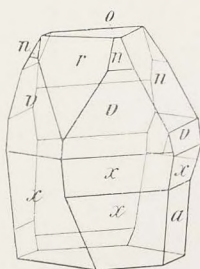


Fig. 8 c.

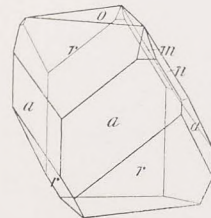


Fig. 12 b.

R. Schroeder del.



Fig. 14 a u. b.

Fig. 13 a.

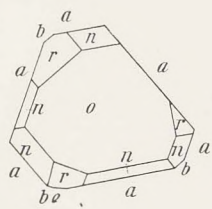


Fig. 13 b.

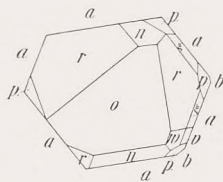
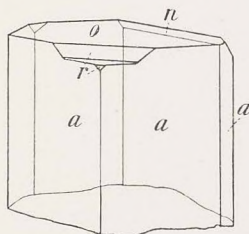
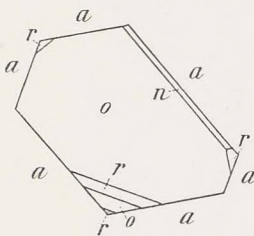
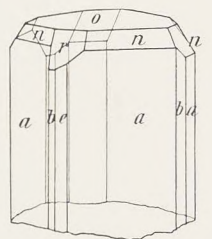


Fig. 15 a.

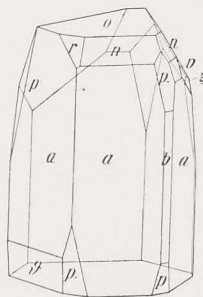


Fig. 15 b.

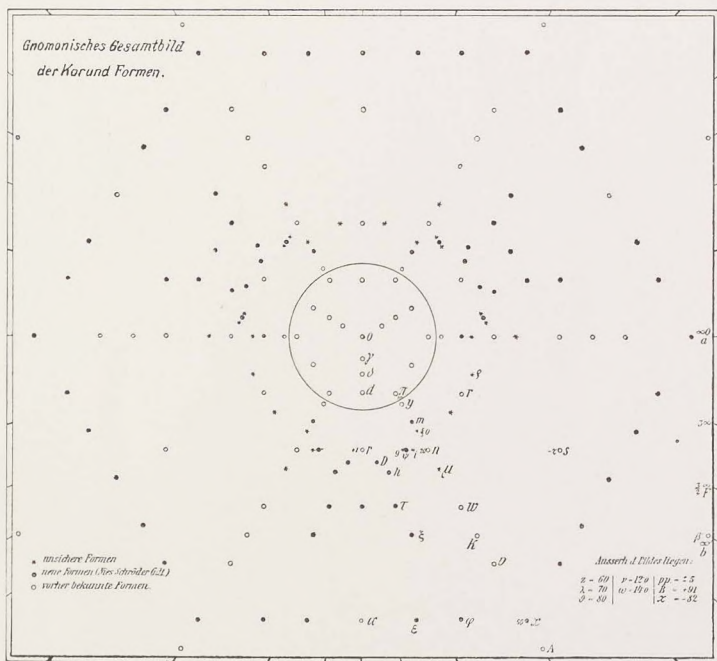
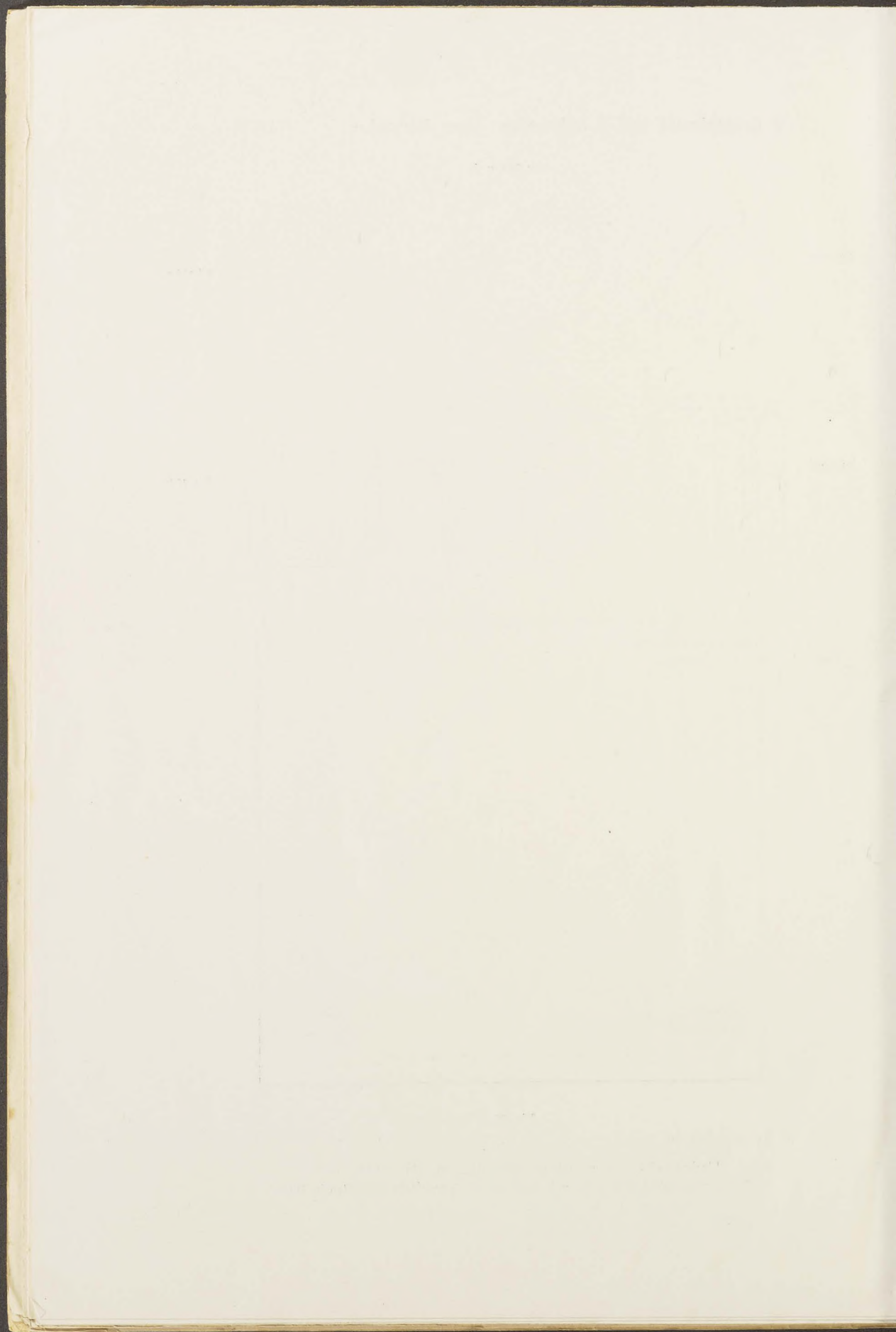


Fig. 16.

R. Schroeder del.

Tschermaks Min. u. petrogr. Mitteilungen, Bd. XXIX, H. 6.
Verlag von Alfred Hölder, k. u. k. Hof- und Universitätsbuchhändler in Wien.





Druck von Gottlieb Gistel & Cie., Wien, III., Münzgasse 6.
